



Protokol

ISS/VSG Projekt 2021/22

David Chocholatý (xchoch09)

Brno, 5. ledna 2022

Obsah

1	Řešení	2
1.1	Úloha 1	2
1.2	Úloha 2	3
1.3	Úloha 3	4
1.4	Úloha 4	5
1.5	Úloha 5	5
1.6	Úloha 6	6
1.7	Úloha 7	7
1.7.1	Koeficienty jednotlivých filtrů	8
1.7.2	Impulzní odezvy jednotlivých filtrů	9
1.8	Úloha 8	11
1.8.1	Nulové body a póly jednotlivých filtrů	12
1.9	Úloha 9	14
1.9.1	Frekvenční charakteristiky jednotlivých filtrů	14
1.9.2	Ověření filtrace na správných frekvencích (spektogram)	16
1.10	Úloha 10	16

1 Řešení

Projekt je řešen v jazyce *Python* za použití programu *Jupyter Notebook*. Veškeré zdrojové kódy se nacházejí v souboru *xchoch09.ipynb*.

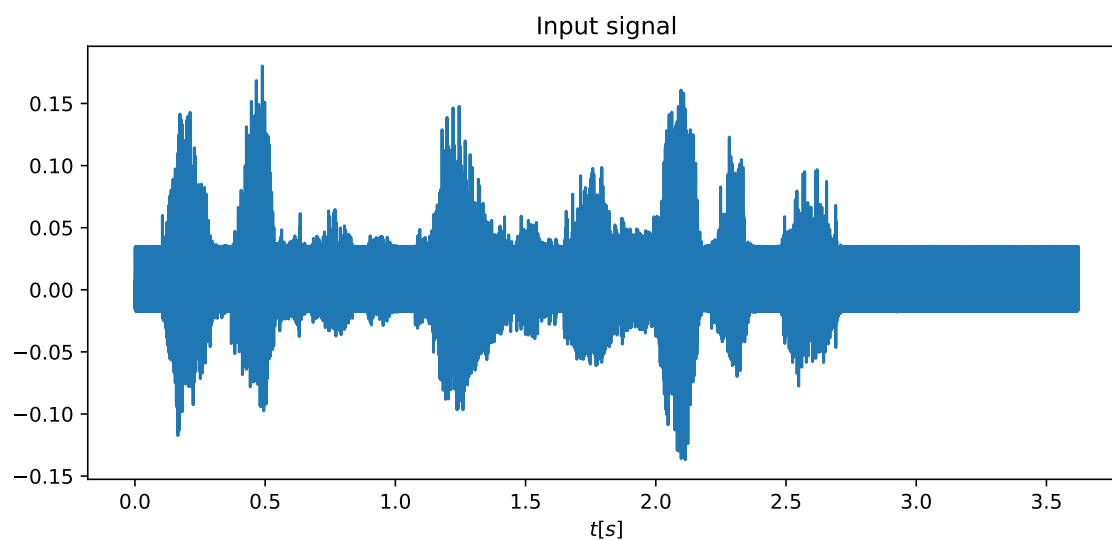
1.1 Úloha 1

Vstupní signál je načten pomocí funkce *read()* implementované v modulu *soundfile*.

Informace o vstupním signálu:

- Délka ve vzorcích: **57959 vzorků**
- Délka v sekundách: **3.6224375 s**
- Minimální hodnota: **-0.136749267578125**
- Maximální hodnota: **0.180206298828125**

Vstupní signál:



1.2 Úloha 2

Úsek zdrojového kódu pro ustřednění načteného signálu (odečtení od signálu jeho střední hodnoty) a normalizace do dynamického rozsahu -1 až 1 (dělení signálu maximem absolutní hodnoty):

```
# Center input signal
data = data - np.mean(data)

# Normalize signal to range -1, 1
data = data / max(np.max(data), abs(np.min(data)))
```

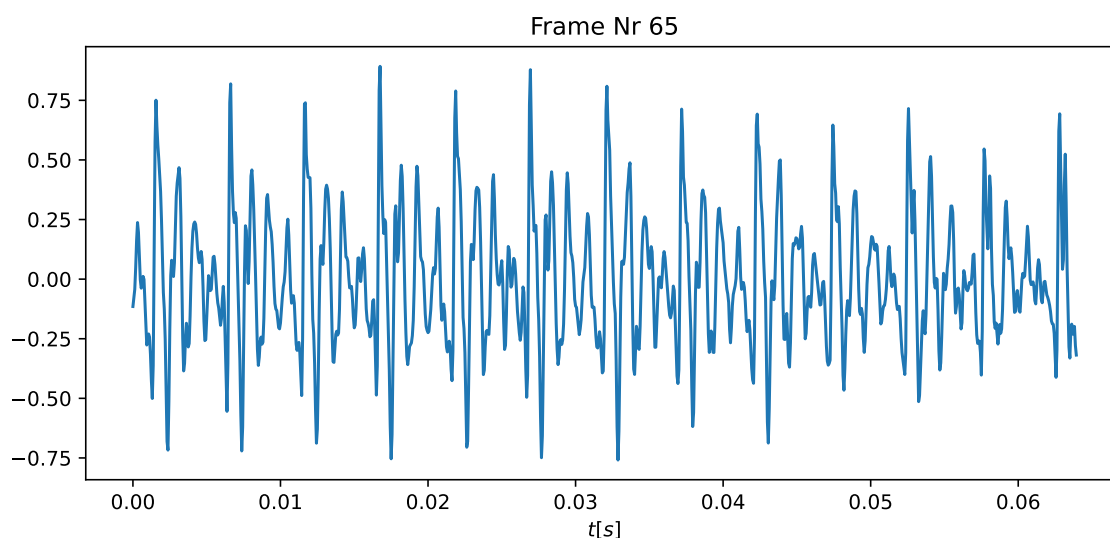
Dále je uveden zdrojový kód pro rozdělení signálů na rámce a jejich uložení do sloupců matice:

```
# Split signal into frames of size 1024 samples
# with 512 samples overlap
split_size = 1024
split_step = 512

data_seg=[data[i:i+split_size] for i in range(0,len(data),split_step)]

# Save frames as matrix columns
matrix = list(map(list, zip_longest(*data_seg, fillvalue=None)))
```

Vybraný rámec (pořadí 65):

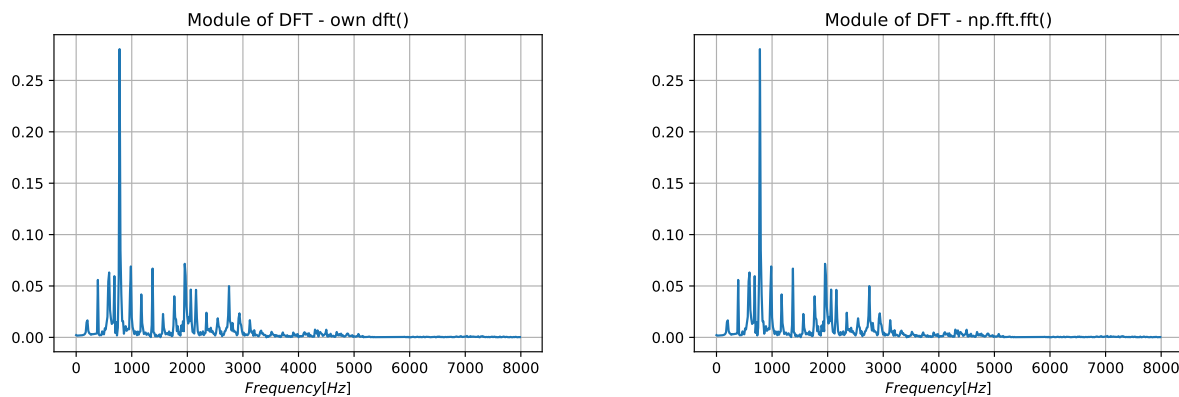


1.3 Úloha 3

Vlastní implementace diskrétní Fourierovy transformace se nachází ve funkci `dft()`. Transformace se vytváří násobením DFT matice (W) a vektoru (x). $N = 1024$ vzorků je získáno přímo ze vstupního vektoru pomocí příkazu $N = x.shape[0]$.

```
def dft(x):  
    # Calculation of N  
    x = np.asarray(x, dtype=float)  
    N = x.shape[0]  
  
    # Create DFT matrix W  
    n = np.arange(N)  
    k = n.reshape((N, 1))  
  
    W = np.exp(-2j * np.pi * k * n / N)  
  
    # Dot product of matrix W and vector x  
    return np.dot(W, x)
```

Grafické porovnání výsledků implementace funkce `dft()` a funkce z modulu numpy `np.fft.fft()`:



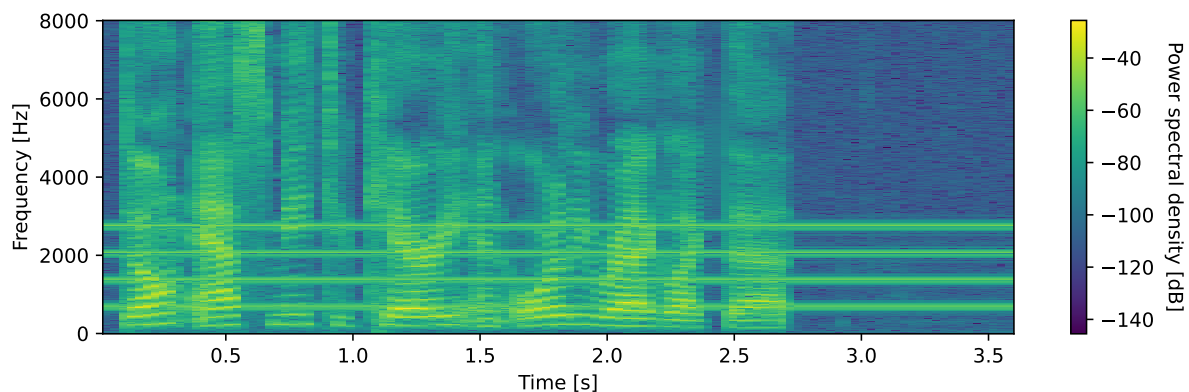
Výsledky byly také porovnány funkcí `np.allclose()` s úspěšným výsledkem `True`.

1.4 Úloha 4

Spektrogram je vytvořen pomocí funkce `spectrogram()` z modulu `scipy.signal`. Dále je uveden úsek zdrojového kódu pro vytvoření spektrogramu a úpravy pomocí $\log_{10}|X[k]|^2$. Z důvodu občasného výskytu nul ve spektrogramu a použití logaritmu je přičtena hodnota $1e-20$ viz Jupyter Notebook Katky Žmolíkové¹.

```
f, t, sgr = spectrogram(data, fs, nperseg=1024, noverlap=512)

sgr_log = 10 * np.log10(sgr+1e-20)
```

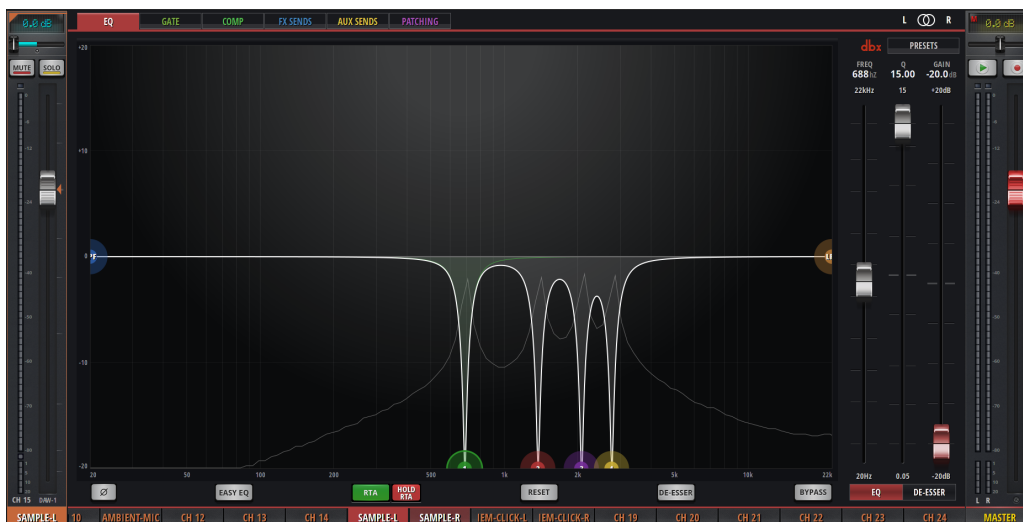


1.5 Úloha 5

Rušivé frekvence byly určeny pomocí dvou metod:

1. Ručně ze spektrogramu
2. Použití ekvalizéru s funkcí **RTA** (*Real Time Analyzer*) a **hold RTA**

Ekvalizér (mixážní pult Soundcraft)



¹https://nbviewer.org/github/zmolikova/ISS_project_study_phase/blob/master/Zvuk_spektra_filttrace.ipynb

Frekvence rušivých komponent:

$$\begin{aligned}f_1 &= 688 \text{ Hz} \\f_2 &= 1376 \text{ Hz} \\f_3 &= 2064 \text{ Hz} \\f_4 &= 2752 \text{ Hz}\end{aligned}$$

Rušivé cosinusovky jsou na určených frekvencích a **jsou harmonicky vztažené**:

$$\begin{aligned}f_1 &= 688 \text{ Hz} \\f_2 &= 2 \cdot 688 = 1376 \text{ Hz} \\f_3 &= 3 \cdot 688 = 2064 \text{ Hz} \\f_4 &= 4 \cdot 688 = 2752 \text{ Hz}\end{aligned}$$

1.6 Úloha 6

Vygenerovaný signál je vytvořen součtem 4 kosinusovek s využitím funkce `cos()` z modulu `numpy`. Ze zmíněného modulu je využita ještě funkce `linspace()`. Docílení stejné délky jako vstupní signál je docíleno pomocí délky (`length = data.size / fs`) a počtu vzorků `num=data.size`. Úsek zdrojového kódu pro generování signálu se směsí 4 kosinusovek:

```
# Generate signal of 4 cosines
f1 = 688
f2 = 1376 # 2*f1
f3 = 2064 # 3*f1
f4 = 2752 # 4*f1

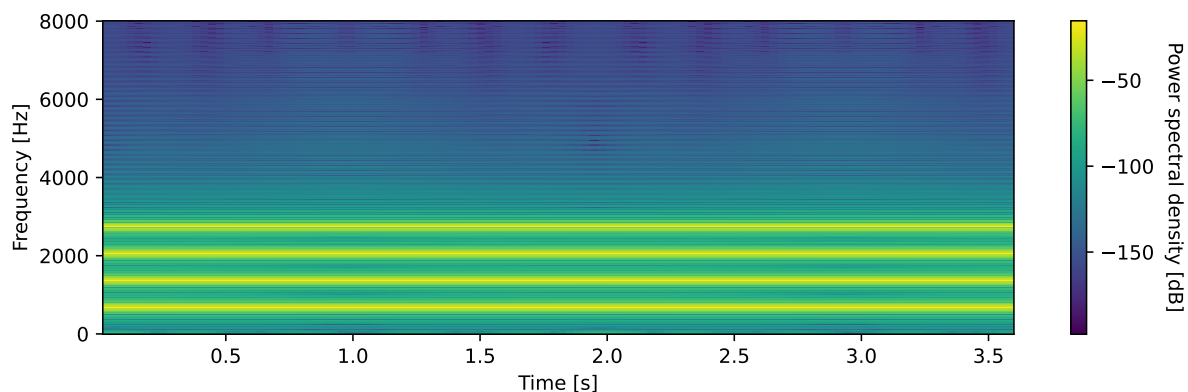
omega_1 = 2 * np.pi * f1
omega_2 = 2 * np.pi * f2
omega_3 = 2 * np.pi * f3
omega_4 = 2 * np.pi * f4

length = data.size / fs

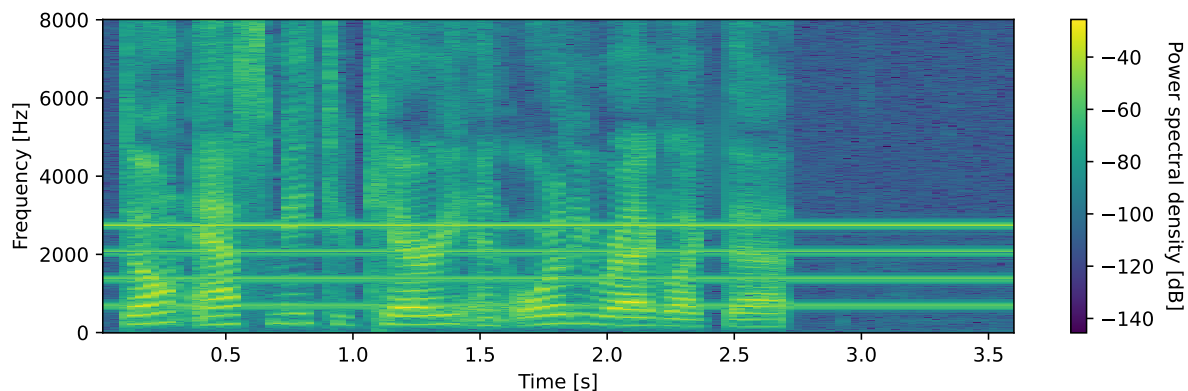
t = np.linspace(0, length, num=data.size)

signal = np.cos(omega_1 * t)
signal += np.cos(omega_2 * t)
signal += np.cos(omega_3 * t)
signal += np.cos(omega_4 * t)
```

Spektrogram vygenerovaného signálu:



Porovnání se spektrogramem vstupního signálu:



Závěr:

Frekvence kosinusovek jsou správné.

1.7 Úloha 7

Číslicový filtr je vytvořen podle varianty návrhu 4 pásmových zádrží. Parametry pro všechny 4 filtry jsou následující:

- Šíře závěrného pásma: **30 Hz**
- Šíře přechodu do propustného pásma na každé straně: **50 Hz**
- Zvlnění v propustném pásmu: **3 dB**
- Potlačení v závěrném pásmu: **-40 dB**

Pro implementaci byly použity funkce *buttord()* a *butter()* implementované v modulu *scipy.signal*.

1.7.1 Koeficienty jednotlivých filtrů

1. Koeficienty filtru pro frekvenci f_1 (688 Hz)

- $b_0 = 0.95149545$, $b_1 = -7.33596752$, $b_2 = 25.01591737$, $b_3 = -49.26243775$,
 $b_4 = 61.2620112$, $b_5 = -49.26243775$, $b_6 = 25.01591737$, $b_7 = -7.33596752$,
 $b_8 = 0.95149545$
- $a_0 = 1$, $a_1 = -7.61410876$, $a_2 = 25.64218391$, $a_3 = -49.87017166$, $a_4 = 61.25091973$,
 $a_5 = -48.64563526$, $a_6 = 24.39838961$, $a_7 = -7.06689486$, $a_8 = 0.9053436$

2. Koeficienty filtru pro frekvenci f_2 (1376 Hz)

- $b_0 = 0.95073118$, $b_1 = -6.52235025$, $b_2 = 20.58253088$, $b_3 = -38.75271725$,
 $b_4 = 47.48987559$, $b_5 = -38.75271725$, $b_6 = 20.58253088$, $b_7 = -6.52235025$,
 $b_8 = 0.95073118$
- $a_0 = 1$, $a_1 = -6.77370764$, $a_2 = 21.10604616$, $a_3 = -39.23797219$, $a_4 = 47.48030971$,
 $a_5 = -38.25913676$, $a_6 = 20.06615406$, $a_7 = -6.27931841$, $a_8 = 0.90388978$

3. Koeficienty filtru pro frekvenci f_3 (2064 Hz)

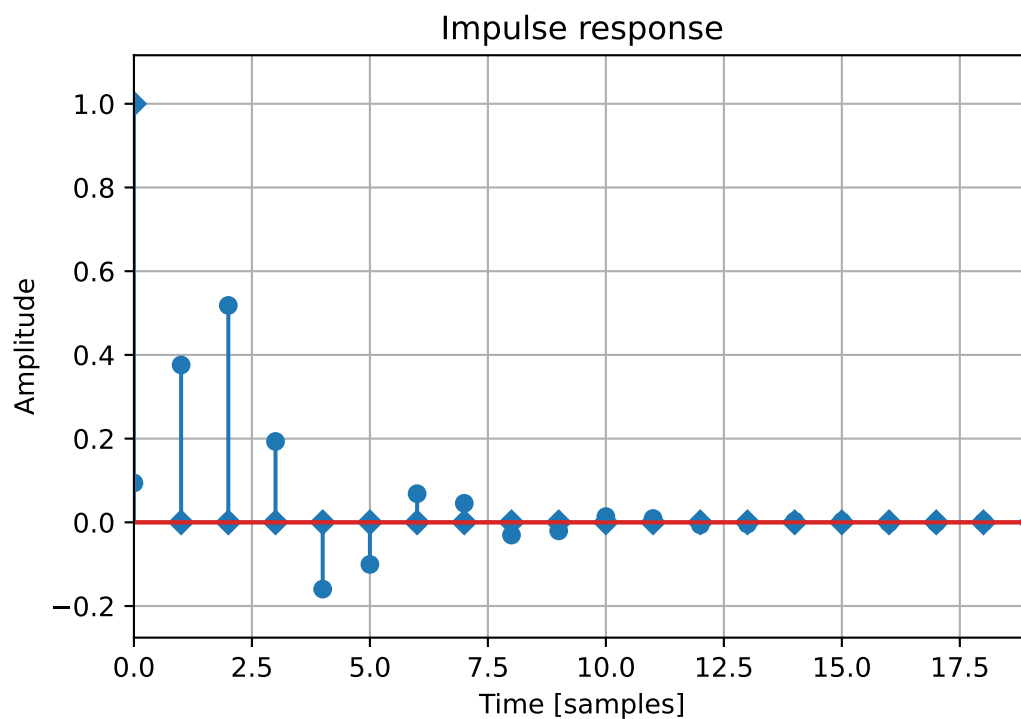
- $b_0 = 0.95042391$, $b_1 = -5.23971291$, $b_2 = 14.63420061$, $b_3 = -25.6724545$,
 $b_4 = 30.79710969$, $b_5 = -25.6724545$, $b_6 = 14.63420061$, $b_7 = -5.23971291$,
 $b_8 = 0.95042391$
- $a_0 = 1$, $a_1 = -5.44295409$, $a_2 = 15.00857088$, $a_3 = -25.9953517$, $a_4 = 30.78998471$,
 $a_5 = -25.34278311$, $a_6 = 14.26449752$, $a_7 = -5.0432459$, $a_8 = 0.90330562$

4. Koeficienty filtru pro frekvenci f_4 (2752 Hz)

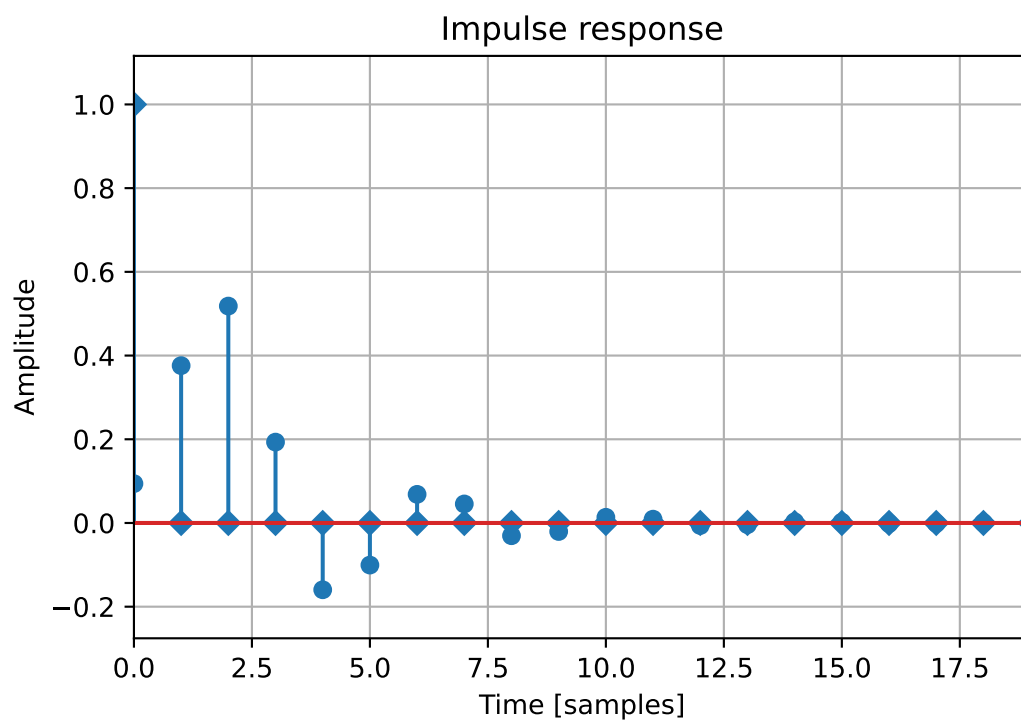
- $b_0 = 0.9502495$, $b_1 = -3.57837489$, $b_2 = 8.8541841$, $b_3 = -13.9066065$,
 $b_4 = 16.55430151$, $b_5 = -13.9066065$, $b_6 = 8.8541841$, $b_7 = -3.57837489$,
 $b_8 = 0.9502495$
- $a_0 = 1$, $a_1 = -3.71768461$, $a_2 = 9.08117274$, $a_3 = -14.08164966$, $a_4 = 16.54963408$,
 $a_5 = -13.72690357$, $a_6 = 8.62938779$, $a_7 = -3.44372494$, $a_8 = 0.90297412$

1.7.2 Impulzní odezvy jednotlivých filtrů

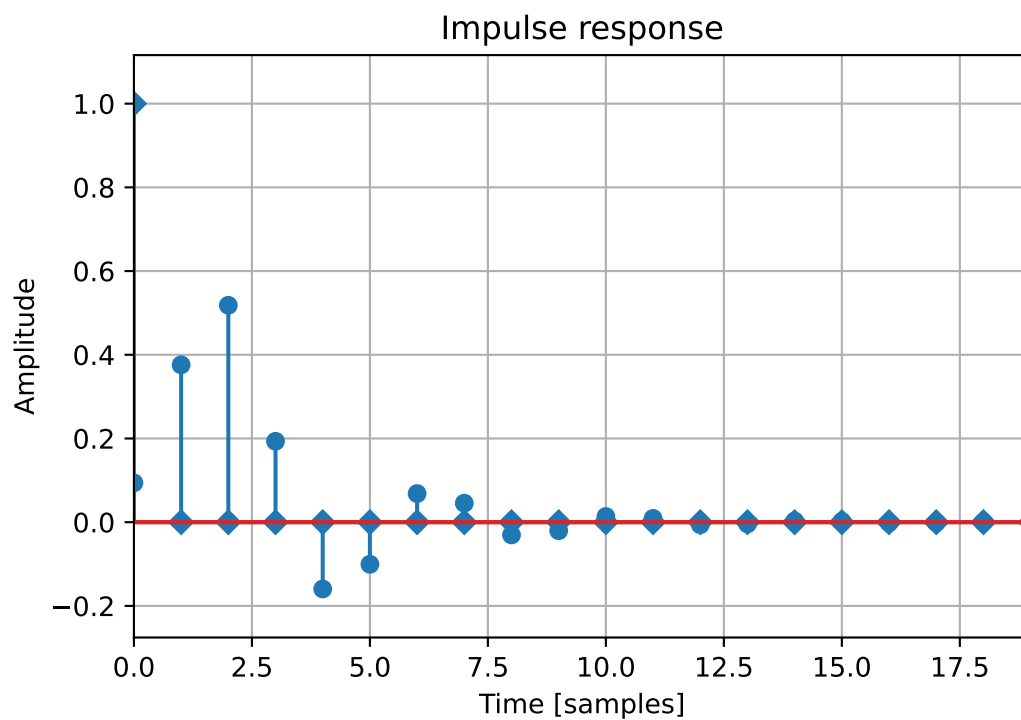
- Impulzní odezva filtru pro frekvenci f_1



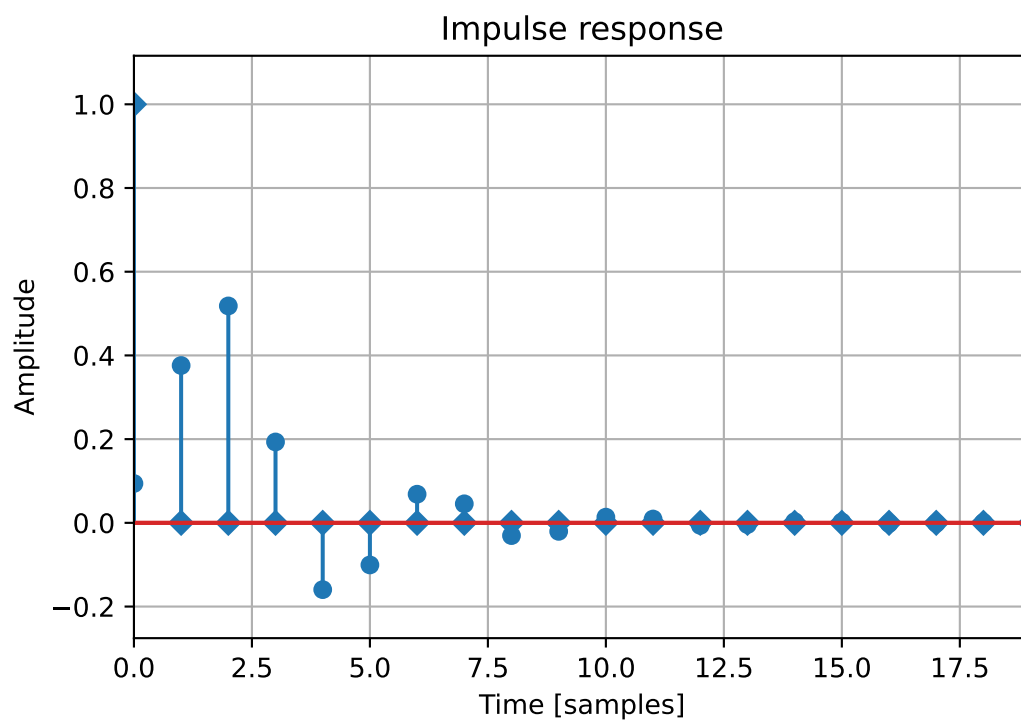
- Impulzní odezva filtru pro frekvenci f_2



- Impulzní odezva filtru pro frekvenci f_3



- Impulzní odezva filtru pro frekvenci f_4



1.8 Úloha 8

Funkce `zplane()` implementovaná v jazyce Python:

```
def zplane(b,a):
    # The coefficients are less than 1, normalize the coefficients
    if np.max(b) > 1:
        kn = np.max(b)
        b = b/float(kn)
    else:
        kn = 1

    if np.max(a) > 1:
        kd = np.max(a)
        a = a/float(kd)
    else:
        kd = 1

    # Get the poles and zeros
    p = np.roots(a)
    z = np.roots(b)
    k = kn/float(kd)

    # Plot
    plt.figure(figsize=(4,3.5))

    # Unit circle
    ang = np.linspace(0, 2*np.pi,100)
    plt.plot(np.cos(ang), np.sin(ang))

    # Zeros and poles
    plt.scatter(np.real(z), np.imag(z), marker='o',
                facecolors='none', edgecolors='r',
                label='zeros')
    plt.scatter(np.real(p), np.imag(p), marker='x',
                color='g', label='poles')

    plt.gca().set_xlabel('Real part  $\mathbb{R}\{z\}$ ')
    plt.gca().set_ylabel('Imaginary part  $\mathbb{I}\{z\}$ ')

    plt.grid(alpha=0.5, linestyle='—')
    plt.legend(loc='upper left')

    plt.tight_layout()

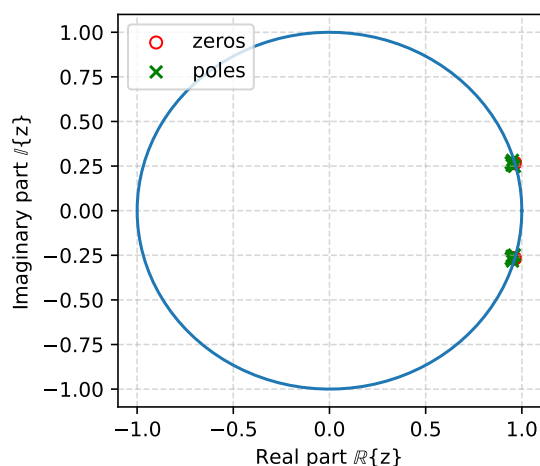
    return z, p, k
```

1.8.1 Nulové body a póly jednotlivých filtrů

- Nulové body a póly filtru pro frekvenci f_1 (688 Hz)

Nulové body: $0.96450313+0.26703613j$, $0.96450313-0.26703613j$, $0.96354344+0.26759669j$, $0.96354344-0.26759669j$, $0.96394017+0.266074j$, $0.96394017-0.266074j$, $0.96298045+0.2666394j$, $0.96298045-0.2666394j$

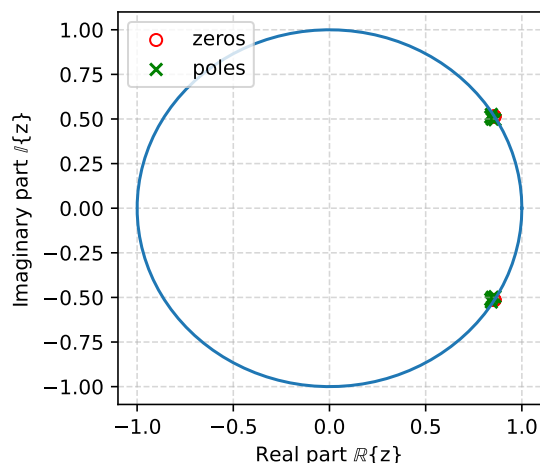
Póly: $0.95137798+0.28198785j$, $0.95137798-0.28198785j$, $0.96158897+0.24860161j$, $0.96158897-0.24860161j$, $0.94469844+0.26851548j$, $0.94469844-0.26851548j$, $0.94938899+0.25496146j$, $0.94938899-0.25496146j$



- Nulové body a póly filtru pro frekvenci f_2 (1376 Hz)

Nulové body: $0.85727494+0.51466142j$, $0.85727494-0.51466142j$, $0.85779464+0.51467976j$, $0.85779464-0.51467976j$, $0.85781308+0.51415995j$, $0.85781308-0.51415995j$, $0.85729318+0.51414163j$, $0.85729318-0.51414163j$

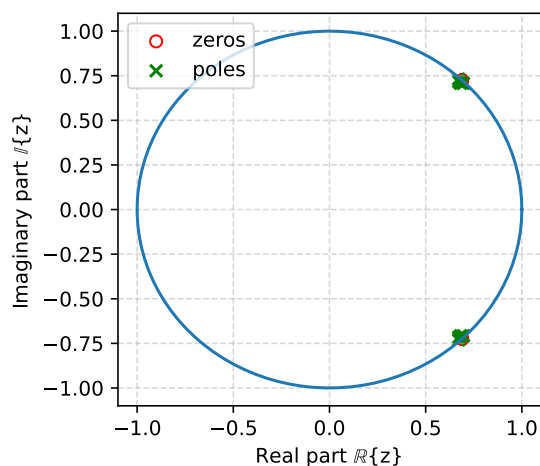
Póly: $0.84166625+0.52581231j$, $0.84166625-0.52581231j$, $0.86028902+0.49563219j$, $0.86028902-0.49563219j$, $0.83852482+0.5112259j$, $0.83852482-0.5112259j$, $0.84637372+0.49897739j$, $0.84637372-0.49897739j$



- Nulové body a póly filtru pro frekvenci f_3 (2064 Hz)

Nulové body: $0.68934918+0.72477544j$, $0.68934918-0.72477544j$, $0.68899221+0.72486j$, $0.68899221-0.72486j$, $0.68926456+0.72441848j$, $0.68926456-0.72441848j$, $0.68890766+0.72450309j$, $0.68890766-0.72450309j$

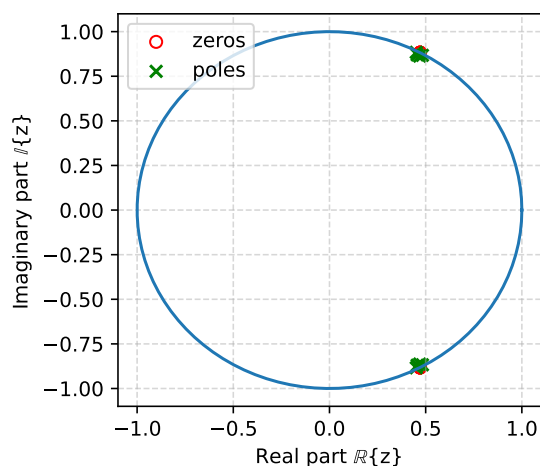
Póly: $0.67079854+0.73143685j$, $0.67079854-0.73143685j$, $0.69683502+0.70703111j$, $0.69683502-0.70703111j$, $0.67153451+0.71657264j$, $0.67153451-0.71657264j$, $0.68230898+0.70666891j$, $0.68230898-0.70666891j$



- Nulové body a póly filtru pro frekvenci f_4 (2752 Hz)

Nulové body: $0.47071782+0.88245182j$, $0.47071782-0.88245182j$, $0.47088175+0.88228258j$, $0.47088175-0.88228258j$, $0.47054859+0.88228787j$, $0.47054859-0.88228787j$, $0.47071253+0.88211865j$, $0.47071253-0.88211865j$

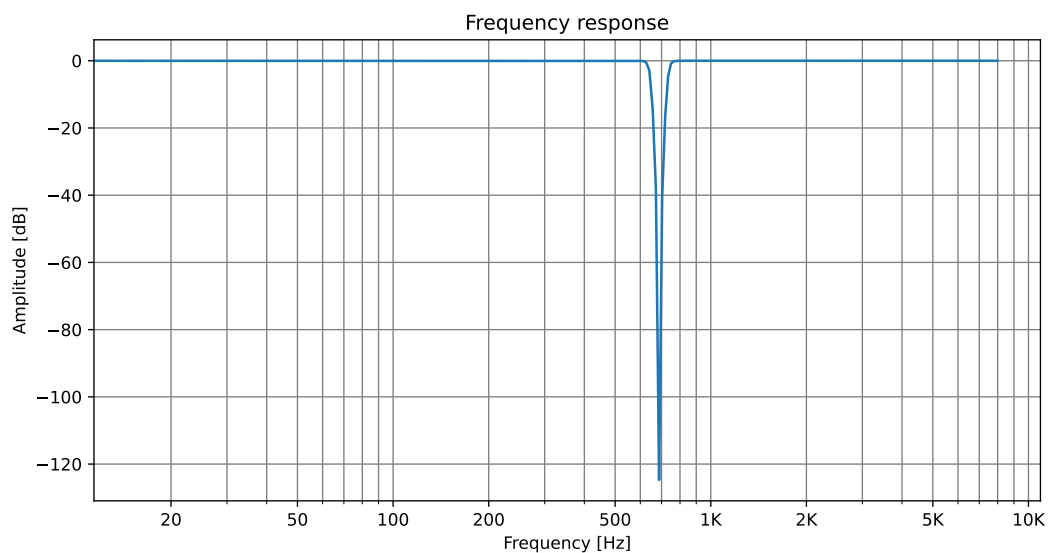
Póly: $0.45124039+0.88397329j$, $0.45124039-0.88397329j$, $0.4829066+0.86724348j$, $0.4829066-0.86724348j$, $0.45583671+0.86984453j$, $0.45583671-0.86984453j$, $0.46885861+0.86305615j$, $0.46885861-0.86305615j$



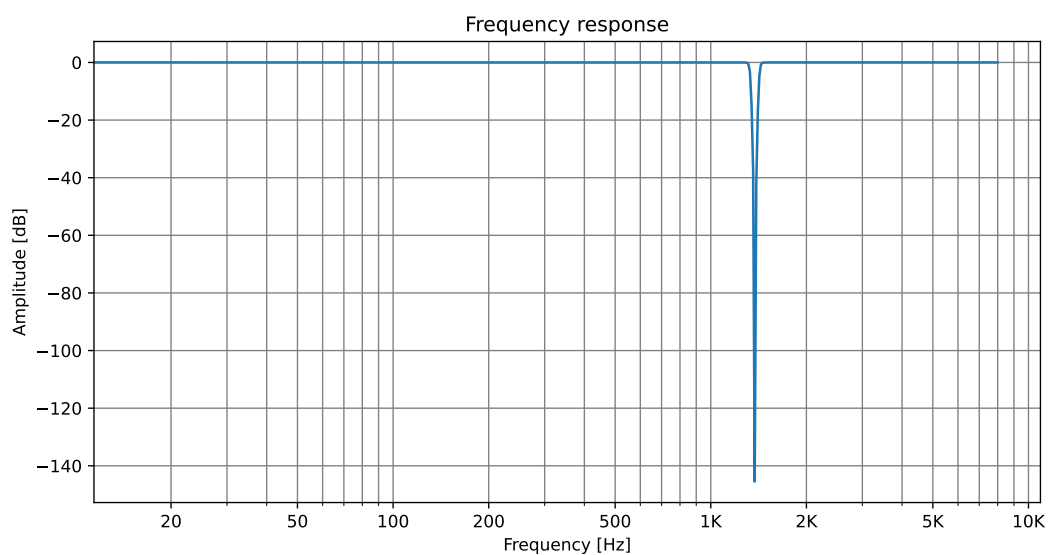
1.9 Úloha 9

1.9.1 Frekvenční charakteristiky jednotlivých filtrů

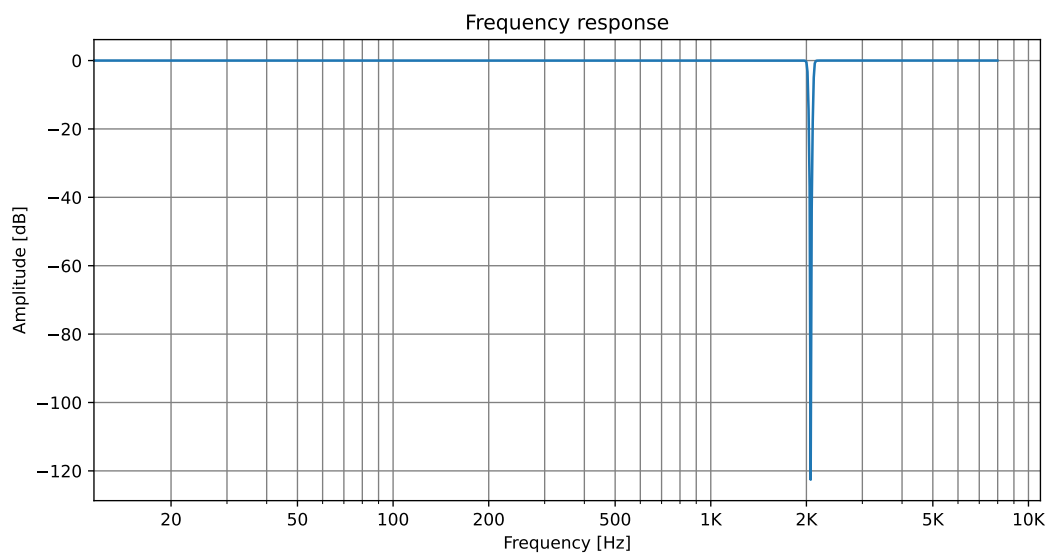
- Frekvenční charakteristika filtru pro frekvenci f_1 (688 Hz)



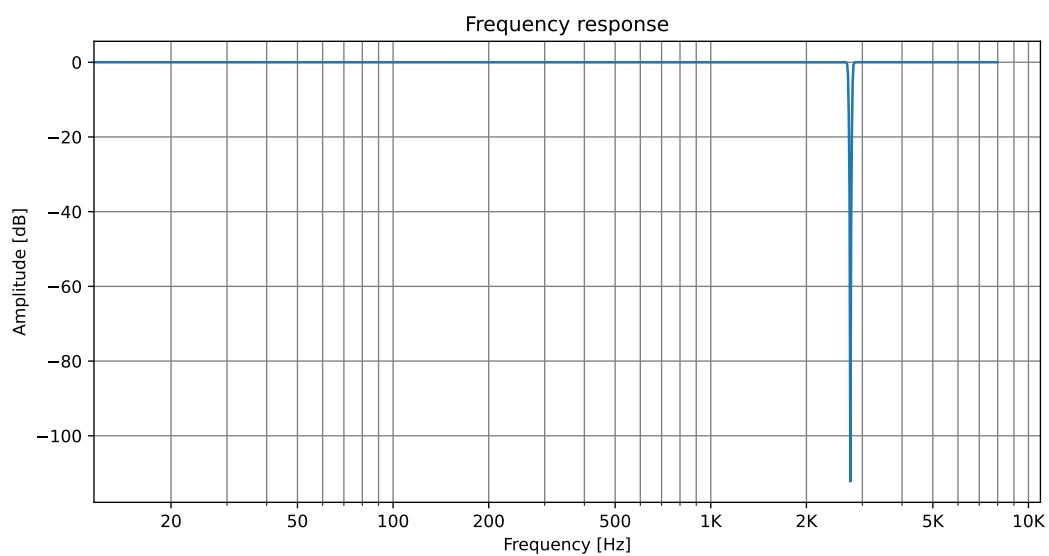
- Frekvenční charakteristika filtru pro frekvenci f_2 (1376 Hz)



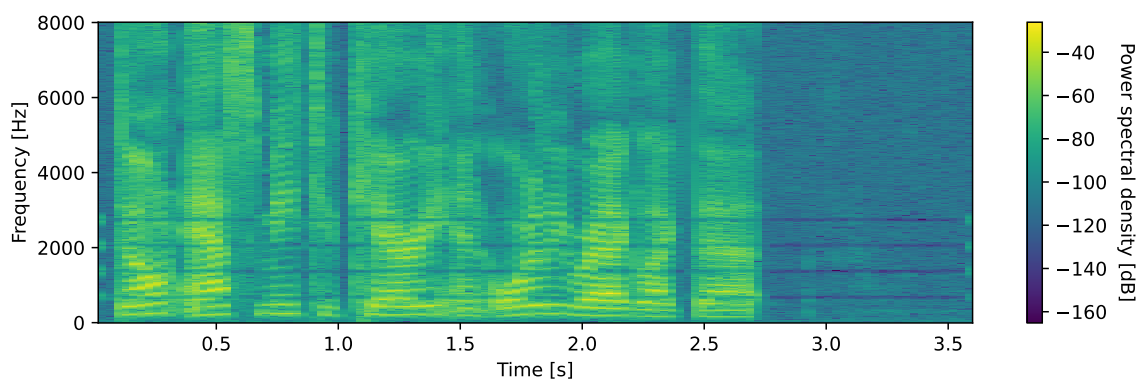
- Frekvenční charakteristika filtru pro frekvenci f_3 (2064 Hz)



- Frekvenční charakteristika filtru pro frekvenci f_4 (2752 Hz)



1.9.2 Ověření filtrace na správných frekvencích (spektrogram)

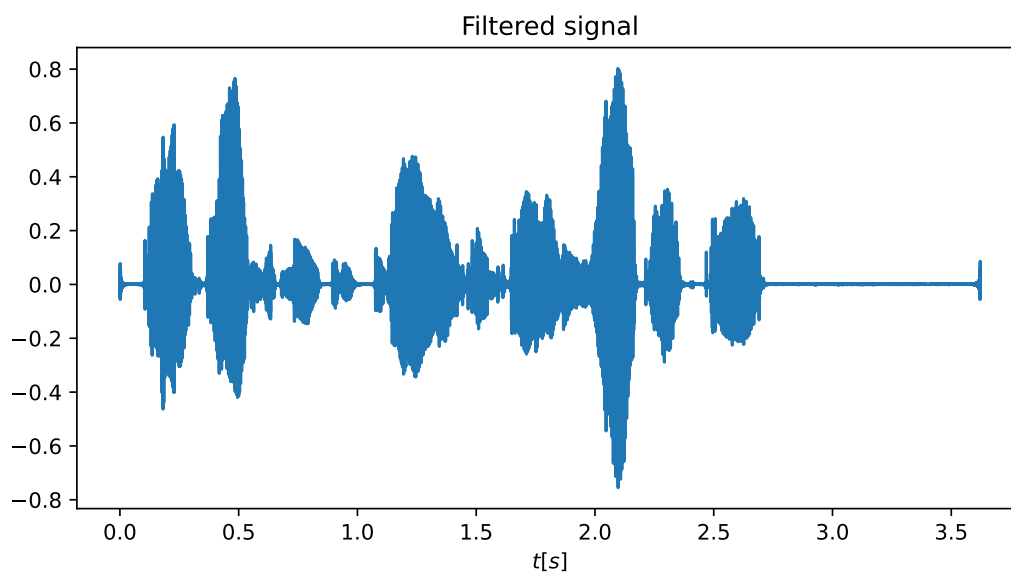


Závěr:

Filtry potlačují rušivý signál na správných frekvencích.

1.10 Úloha 10

Po provedení filtrace vypadá výsledný signál následovně:



Před uložením byl signál normalizován do dynamického rozsahu od -1 do +1 pomocí:

```
# Normalize signal to range -1, 1
data = data / max(data.max(), abs(data.min()))
```

Soubor s výsledným signálem je na základě použití 4 pásmových zádrží pojmenován jako ***clean_bandstop.wav***.

Při posouzení výsledného signálu, spektrogramu a poslechu výsledné nahravky je možné prohlásit filtraci za úspěšnou.